

Janusz Skorek
Instytut Techniki Ciepłej

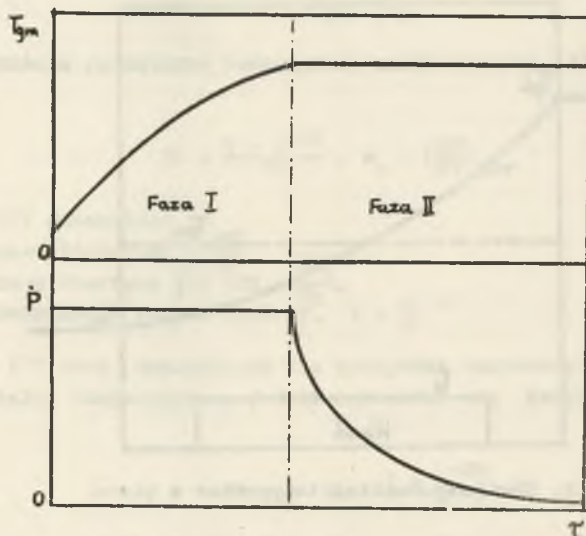
ROZKŁAD TEMPERATURY W DWUSTOPNIOWO NAGRZEWANEJ PŁYTCIE

Streszczenie. Wyprowadzono zależności opisujące rozkład temperatury wsadu i spalin w piecu przy dwustopniowym procesie nagrzewania. Rozwiązanie otrzymane dla płaskiej płyty w oparciu o model pieca idealnego zilustrowano przykładem liczbowym.

1. Wstęp

Jednym ze sposobów nagrzewania wsadu w piecach jest metoda dwustopniowa. Wyróżnić z niej można dwie fazy:

- w pierwszej do pieca dopływa stały strumień paliwa, średnia temperatura spalin w piecu jak i temperatura wsadu podnosi się,
- w drugiej strumień dopływających spalin maleje w czasie w taki sposób, że średnia temperatura spalin w piecu utrzymuje się na stałym, założonym poziomie, który winien osiągnąć nagrzewany materiał (rys. 1).



Rys. 1. Wykres zmian średniej temperatury spalin T_{gm} i strumienia paliwa \dot{P} przy dwustopniowym nagrzewaniu wsadu

Obliczenia zmian temperatury wsadu i spalin są możliwe przy pewnych założeniach upraszczających. W [1] podano rozwiązanie dla przypadku wsadu o postaci symetrycznej płyty. Założono przy tym, że średnia temperatura spalin w piecu T_{gm} jest równa temperaturze wylotowej spalin T_{gw} . Założenie takie jest słuszne jedynie w niektórych przypadkach.

Poniżej przytoczono rezultaty analizy procesu przy założeniu, że średnia temperatura spalin różni się od temperatury spalin na wylocie z pieca. Rozwiązania dokonano dla materiału w postaci płyty o grubości 2δ .

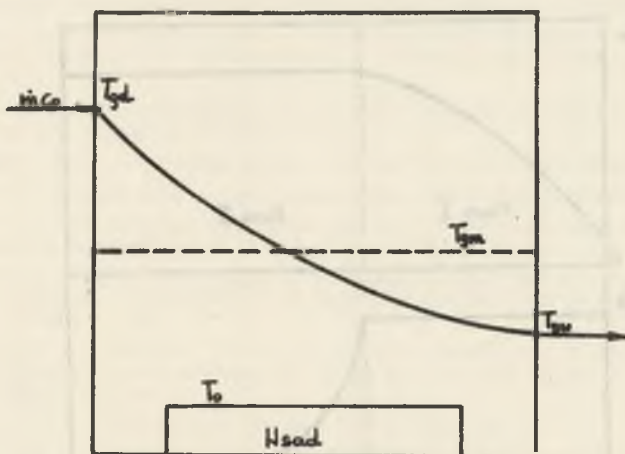
2. Temperatura wsadu

Charakter zmian temperatury wsadu w funkcji czasu jest różny w obydwu fazach nagrzewania. W fazie pierwszej średnia temperatura spalin w piecu podnosi się w miarę nagrzewania materiału. Pomiedzy temperaturą T_{gw} spalin u wylotu i T_{gd} na dopływie do pieca istnieje (rys. 2) zależność [2]

$$T_{gw} = T_0 + (T_{gd} - T_0) \exp\left(-\frac{F_m \alpha}{\dot{W}_g}\right) \quad (1)$$

gdzie:

- T_0 - temperatura powierzchni materiału,
- F_m - powierzchnia nagrzewanego materiału,
- α - współczynnik wnikania ciepła,
- \dot{W}_g - pojemność cieplna strumienia spalin ($\dot{W}_g = \dot{m} c_p$).



Rys. 2. Chwilowy rozkład temperatur w piecu

W tym przypadku średnia temperatura spalin T_{gm} w piecu wynika ze średniej logarytmicznej różnicy temperatur i wynosi

$$T_{gm} = T_o + \frac{T_{gd} - T_{gw}}{\ln \frac{T_{gd} - T_o}{T_{gd} - T_{gw}}} \quad (2)$$

Rozkład temperatury we wsadzie w funkcji czasu opisany jest następującym równaniem różniczkowym

$$\frac{\partial T}{\partial t} = a \frac{\partial^2 T}{\partial x^2} \quad (3)$$

przy warunku brzegowym 3 rodzaju

$$\alpha(T_{gm} - T_o) = -\lambda \left(\frac{\partial T}{\partial x}\right)_{\text{pow}} \quad (4)$$

Zależność (4) można przekształcić opierając się na równaniu bilansu energii w piecu

$$\dot{m} c_p (T_{gd} - T_{gw}) = \alpha (T_{gm} - T_o) \cdot F_m \quad (5)$$

oraz wykorzystując równania (1) i (2).

Po wprowadzeniu bezwymiarowej temperatury

$$\theta = \frac{T_{gd} - T}{T_{gd} - T_p} \quad (6)$$

gdzie T_p oznacza początkową temperaturę wsadu warunek (4) można zapisać w postaci

$$Bi \cdot \frac{1 - e^{-St}}{St} \cdot \theta_o = \left(\frac{\partial \theta}{\partial X}\right)_{\text{pow}} \quad (7)$$

We wzorze (7) oznaczono:

Bi - liczba Biota ($Bi = \frac{F\alpha}{\dot{m}c_p}$)

St - liczba Stanton [1] ($St = \frac{F\alpha}{\dot{m}c_p}$),

X - bezwymiarowy wymiar liniowy, $X = \frac{x}{\delta}$.

Warunek (7) jest analogiczny dla przypadku nagrzewania materiału w ośrodku o stałej temperaturze, jeżeli wprowadzi się korygowaną liczbę Biota:

$$Bi_{\text{kor}} = Bi \cdot \frac{1 - e^{-St}}{St} \quad (8)$$

czyli:

$$Bi_{kor} \cdot \theta_0 = \left(\frac{\partial \theta}{\partial X} \right)_{pow} \quad (9)$$

Po wprowadzeniu w postaci liczby Fouriera bezwymiarowego czasu równanie (3) przybiera postać

$$\frac{\partial \theta}{\partial Fo} = \frac{\partial^2 \theta}{\partial X^2} \quad (10)$$

gdzie:

$$Fo = \frac{\alpha \tau}{\delta^2}$$

Ze względu na symetrię rozwiązania całka ogólna tego równania jest następująca

$$\theta(X, Fo) = \sum_{j=1}^{\infty} A_j \cos \nu_j X \cdot e^{-\nu_j^2 Fo} \quad (11)$$

Stałe A_j oblicza się ze znanego wzoru

$$A_j = \frac{\int_{-1}^1 f(\xi) \cos \nu_j \xi d\xi}{\int_{-1}^1 \cos^2 \nu_j \xi d\xi} \quad (12)$$

gdzie $f(\xi)$ jest funkcją rozkładu temperatury w materiale w chwili $Fo = 0$. W tym przypadku $f(\xi) = 1$, gdyż początkowa temperatura w całej płycie jest taka sama i wynosi T_p (czyli $\theta = 1$).

Wielkości ν_j są wartościami własnymi równania przestępnego

$$Bi \frac{1}{kor} \cdot \nu_j = \operatorname{ctg} \nu_j \quad (13)$$

Ostatecznie funkcja rozkładu temperatury w materiale w pierwszej fazie nagrzewania ($Fo < Fo^*$) przybiera znaną postać:

$$\theta(X, Fo) = \sum_{j=1}^{\infty} 2 \frac{\sin \nu_j}{\nu_j + \cos \nu_j} \frac{\sin \nu_j}{\sin \nu_j} \cos(\nu_j X) e^{-\nu_j^2 Fo} \quad (14)$$

Wielkość Fo^* jest bezwymiarowym czasem po jakim osiągnięto założoną średnią temperaturę spalin w piecu, a więc jest czasem, w którym kończy się pierwsza faza.

W drugiej fazie nagrzewania średnia temperatura spalin T_{gm} jest stała i równa założonej końcowej temperaturze podgrzania wsadu. Z tego powodu dogodniej jest wprowadzić bezwymiarową temperaturę θ zdefiniowaną następująco

$$\theta^* = \frac{T_{gm} - T}{T_{gm} - T_p} \quad (15)$$

Jeżeli oznaczy się

$$\psi = \frac{T_{gd} - T_{gm}}{T_{gd} - T_p} \quad (16)$$

to pomiędzy θ i θ^* zachodzi związek

$$\theta^* = \frac{\theta - \psi}{1 - \psi} \quad (17)$$

Rozkład temperatury we wsadzie w fazie drugiej opisuje równanie różniczkowe

$$\frac{\partial \theta^*}{\partial (Fo - Fo^*)} = \frac{\partial^2 \theta^*}{\partial X^2} \quad (18)$$

gdzie Fo oznacza czas upływający od początku procesu nagrzewania, a więc od początku fazy pierwszej. W chwili $Fo = Fo^*$ początkowy rozkład temperatury w fazie drugiej jest taki sam jak wynikający z równania (14) rozkład końcowy w fazie pierwszej.

Warunek brzegowy w fazie drugiej jest następujący

$$Bi \cdot \theta^* = \left(\frac{\partial \theta^*}{\partial X} \right)_{\text{pow}} \quad (19)$$

Nie występuje tu korygowana liczba Biota, gdyż średnia temperatura spalin jest stała.

Całka ogólna równania (18) ma postać

$$\theta^*[X, (Fo - Fo^*)] = \sum_{i=1}^{\infty} A_i \cos \mu_i X e^{-\mu_i^2 (Fo - Fo^*)} \quad (20)$$

Z warunku (19) otrzymuje się równanie przestępne służące do wyznaczania wartości własnych μ_i

$$\frac{\mu_i}{Bi} = \text{ctg } \mu_i \quad (21)$$

Stałe A_1 wyznacza się ze wzoru

$$A_1 = \frac{\int_{-1}^1 f^*(\xi) \cos \mu_1 \xi \, d\xi}{\int_{-1}^1 \cos^2 \mu_1 \xi \, d\xi} \quad (22)$$

gdzie $f^*(\xi)$ jest funkcją rozkładu temperatury w chwili początkowej fazy drugiej t.j. dla $F_0 = F_0^*$.

$$f^*(\xi) = \frac{1}{1-\psi} \left[\sum_{j=1}^{\infty} 2 \frac{\sin \nu_j}{\nu_j + \cos \nu_j \sin \nu_j} \cos(\nu_j X) \cdot e^{-\nu_j^2 F_0^* - \psi} \right] \quad (23)$$

Ostatecznie rozwiązanie dla fazy drugiej, t.j. dla $F_0 > F_0^*$ ma postać

$$\theta[X, (F_0 - F_0^*)] = \sum_{i=1}^{\infty} \sum_{j=1}^{\infty} \frac{1}{1-\psi}$$

$$\frac{4 \mu_1 \sin \nu_j (\nu_j \sin \nu_j \cos \mu_1 - \mu_1 \sin \mu_1 \cos \nu_j)}{(\mu_1 + \sin \mu_1 \cos \mu_1) (\nu_j + \sin \nu_j \cos \nu_j) (\nu_j^2 - \mu_1^2)}$$

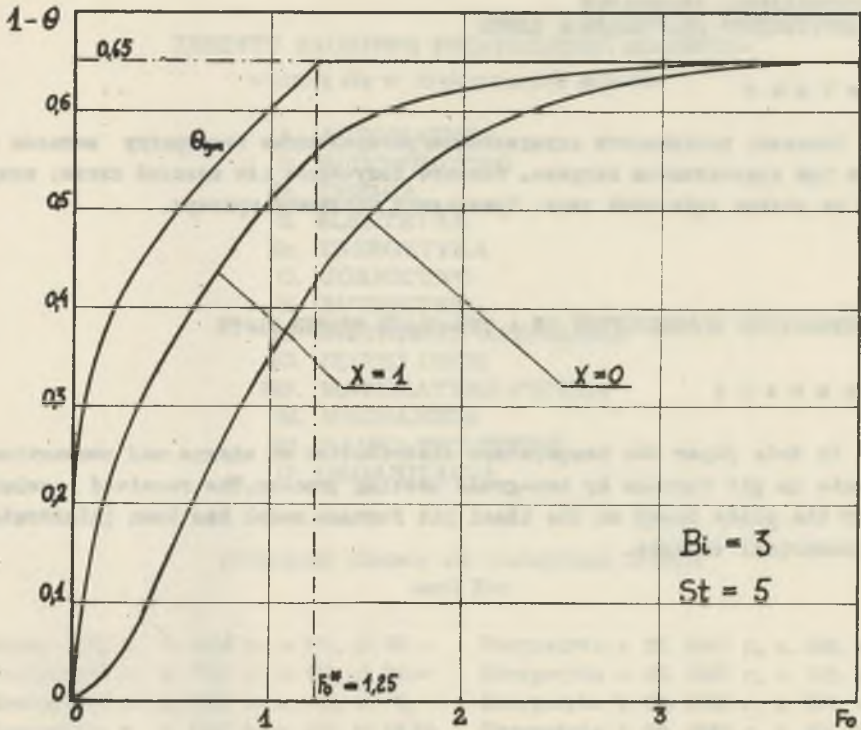
$$\cdot e^{-\nu_j^2 F_0^*} \cos(\mu_1 X) e^{-\mu_1^2 (F_0 - F_0^*)} - \frac{\psi}{1-\psi} \sum_{i=1}^{\infty} 2 \quad (24)$$

$$\frac{\sin \mu_1 \cos(\mu_1 X)}{\mu_1 + \sin \mu_1 \cos \mu_1} \cdot e^{-\mu_1^2 (F_0 - F_0^*)}$$

Powyższy szereg jest szybko zbieżny i na ogół wystarczy uwzględnić tylko 3 pierwsze wyrazy.

3. Przykład liczbowy /

Dla zilustrowania otrzymanych wyników sporządzono wykres zmiany temperatury powierzchni i środka płyty w zależności od bezwymiarowego czasu (rys. 3). Do obliczeń przyjęto $Bi = 3$ i $St = 5$. Przyjęto graniczną wartość temperatury nagrzewania = 0,35. Dla większej przejrzystości na osi pionowej wykresu odkładane są wartości $1 - \theta$ zamiast θ (jeżeli przyjmie się $T = 0$, to $1 - \theta = \frac{T}{T^*}$). Wartość liczby Stanton jest stała jedynie w fazie pierwszej. W fazie drugiej maleje ona asymptotycznie do zera.



Rys. 3. Rozkład średniej temperatury spalin θ_{gm} , temperatury powierzchni płyty ($X=1$) oraz temperatury środka płyty ($X=0$) w funkcji bezwymiarowego czasu Fo

LITERATURA

- [1] Jeschar R.: Chem. Ing. Technik 43, nr 5, (1971).
- [2] Kostowski E.: Zeszyty Naukowe Pol. Śl., Energetyka z. 45, 1973.

Praca wpłynęła do Redakcji w dniu 22 kwietnia 1974 roku.

РАСПРЕДЕЛЕНИЕ ТЕМПЕРАТУР
В ДВУСТЕПЕННО ОБОГРЕВАЕМОЙ ПЛИТЕ

Р е з ю м е

Выведены зависимости определяющие распределение температур металла и газов при двухступенном нагреве. Решение полученное для плоской плиты, опирается на модели идеальной печи. Приводятся численные примеры.

TEMPERATURE DISTRIBUTION IN A TWO-GRADE HEATED PLATE

S u m m a r y

In this paper the temperature distribution of charge and combustion products in pit furnace by two-grade heating process. The received solution for the plate based on the ideal pit furnace model has been illustrated by a numerical example.